

○ 摂県正会員 鈴木博元
 法政大学 山下清明
 摂県大学 渋島良吉

1. まえがき

柱-はり接合部の応力集中については、これまでに実験並びに数値解析等多くの研究がなされている。しかし柱-はり接合部の応力状態は複雑であり、局部曲げによる大きな応力集中が予想される。しかし、こうした局部曲げの影響を実験的に把握することはかなり困難である。また面外曲げを考慮した解析についても計算機容量等の関係で、これまでの解析あることは困難となる。そこでこれまでとして平面応力状態としての計算がなされているが、疲労破壊等の立場からモニタした柱-はり接合部の局部曲げによる応力集中状態を正確に把握する必要性が増大している。本研究では、こうした柱-はり接合部をモデル化し、その簡単化されたモデルに対し、面外曲げの影響を考慮した解析をおこない、その部材断面の幾何学量を種々変化させることにより、はり接合部の応力集中を定性的に把握することとした。本研究は、柱-はり接合部のみならずトラス格東部の応力集中についての考察をおこなううえでも貴重な資料を提示することができる。

2. モデル化および数値計算結果

柱-はり接合部(図-1.a)については横はり下フランジ接合部近傍の応力集中が問題となる。そこでこれを図-1.bのようにモデル化し、これについてダイアフラムの補強効果等の考察をおこなう。

次に図-2.a,bはトラス格東部の疲労実験結果である。図に示すように斜材端部近傍からクラックが発生している。これは板の局部的な曲げによるものと考えられるが、これについての考察はなされていない。図-3.a,bはこのトラス格東部をモデル化したものであり、これについてかセットの面外曲げによる応力集中についての考察をおこなった。

図-4はモデル1についての実験値と計算値の比較である。荷重板部については、荷重板端部を除いて両者はほぼ一致している。局部的に精度の面で2~3割の差があるといふことはあるが、定性的に把握にこの数値結果を利用することは十分可能であるといえる。ダイアフラムの補強がある場合についての実験値と計算値はよく一致した。図-5は荷重板端部のひずみ集中を示したものであり、ダイアフ

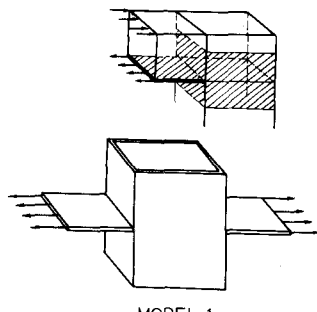
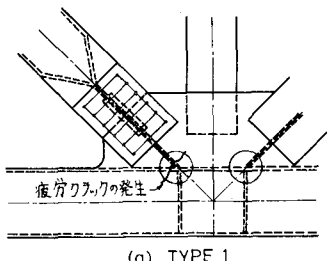
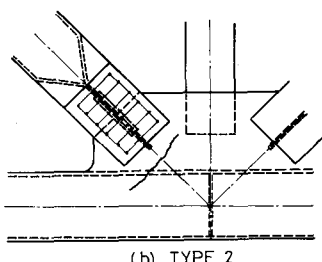


図-1 柱-はり接合部のモデル化



(a) TYPE 1



(b) TYPE 2

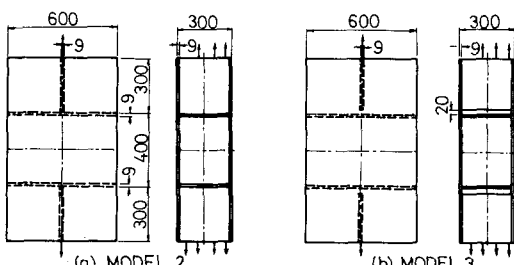


図-3 トラス格点部のモデル化

ラムで補強することによりひずみ集中率 α の値が著しく低下することができる。また図-5において $t_w/t_s = 1$ の場合について、面外曲げを考慮した場合と無視して計算した場合を比較した。二の場合、荷重板のひずみ集中率 α は $B_d/B < 0.9$ において両者ほぼ同一であることがわかる。また $B_d/B < 0.9$ の範囲について、ひずみ集中率は面外曲げを考慮した方が小さくなり、面外曲げを無視して計算すれば安全側の結果が得られるところとなる。一方し B_d 腹板部(図-5)においては、 $t_w/t_s < 1.1$ 以下において面外曲げを無視した方が面外曲げを考慮した方がより大きくなるが、 $t_w/t_s > 1.1$ においては逆側は逆転する。次に図-7.aとbはトラス橋東部をモデル化したモデル2,3と、f112の計算結果である。図-7.aとbはモデル2,3と対しての荷重板(斜材)側面部の鉛直方向ひずみ ϵ_z である。モデル3のよう、斜材を強材まで伸ばさないで途中で切ったものについては局部曲げによる相当大きなひずみ集中が生じていることがわかる。

図-2.bのトラス橋東部の被覆フランク発生によってして局部曲げによるひずみ集中が原因と考えられる。図-7.cはモデル3において、ダイアフラムによる補強の有る場合と無い場合におけるカセット、および強材腹板部のひずみ ϵ_z の比較図である。これよりモデル3の構造においてはダイアフラムで補強することによりひずみ集中が増大するところである。図-7.dはモデル3にf112板の面外曲げを考慮した場合と無視した場合の比較であり、面外曲げを無視した場合、面外曲げを考慮した場合のおよそ半分となっている。

3. 結語

柱-4より接合部およびトラス橋東部をモデル化し、それによりダイアフラムの補強効果、および面外曲げによる応力集中についての考察をおこなった。面外曲げを無視した場合、面外曲げを考慮したものに比べ応力集中が相当低く得られる場合もあり注意を要する。またトラス橋東部斜材の接合方法においても十分注意が必要である。

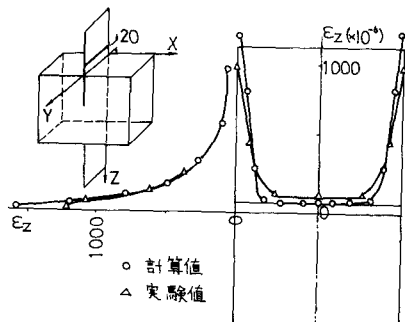


図-4 荷重板鉛直方向ひずみ ϵ_z (ダライアラム無し)

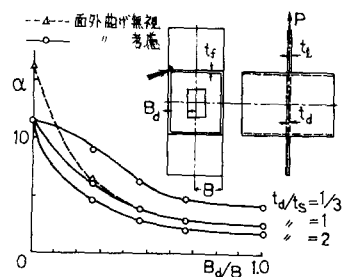


図-5 荷重板のひずみ集中率 α

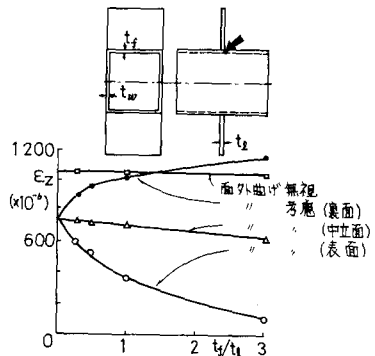


図-6 B_d 腹板応力集中部ひずみ ϵ_z

